

## I-153 斜張橋の最適設計における最適性基準について

熊本大学工学部 正員○小林一郎  
 熊本大学工学部 正員 三池亮次  
 山口大学工学部 正員 古川浩平  
 京都大学工学部 正員 山田善一

1. まえがき 斜張橋のプレストレス量決定のための最適性基準として、幾つかのものが提案されている。ここでは、①ひずみエネルギー最小基準、②等モーメント基準と、③主桁とケーブルの総コストを最小化する基準との間の関係について考察する。

2. 各最適性基準の比較 a) 解析モデル 1 図-1 の等分布荷重  $q$  を受ける梁の中央にプレストレス  $p$  が作用する構造を考える。モーメントの最大値を  $M_1$ 、 $L/2$  点の値を  $M_2$ 、はりの左端より  $M_1$  の生ずる点までの距離を  $x$  とする。

設計変数は  $p$  のみで、 $q$  を用いて  $p = \alpha qL$  と表す。最適性基準として

基準 I : ひずみエネルギー最小基準<sup>1)</sup>

$$U = \int_0^L \left( \frac{M^2}{2EI} \right) \rightarrow \min \quad (1)$$

基準 II : 等モーメント基準<sup>2)</sup>

$$V = \max(M_1, M_2) \rightarrow \min \quad (2)$$

基準 III : コスト最小基準<sup>3)</sup>

$$W = C A c^t L_c + A g^t L_g \rightarrow \min \quad (3)$$

を設定する。ただし、式(3)において  $C$  は主桁とケーブルのコスト比、 $A_c$ 、 $A_g$  はケーブルおよび主桁の部材断面積、 $L_c$ 、 $L_g$  は部材長である。

基準 I、II は桁の曲げ剛性  $EI$  を与えると、最適解  $p^*$  が求められ、結果は表-1 のとおりである。一方、基準 III には設計変数として  $p$  のほかに、図-2 のような 2 軸対称 I 型断面を設定し、桁高  $H_g$  を加えて最適解を求める。ただし、等分布荷重  $q = 1000 \text{ kgf/cm}$ 、 $L = 100 \text{ cm}$ 、部材幅  $B = 20 \text{ cm}$ 、板厚  $t_w = t_f = 0.8 \text{ cm}$  とする。

各基準によるモーメント分布図を図-3 に示す。図から、基準 III を用いると  $C$  が小さいときは、極力プレストレス  $p$  を大きくする方が有利であり、基準 III と II は一致していることがわかる。ただし、基準 I では、基準 II よりさらに  $p$  を大きくするが、これにつれて  $M_2$  が増加するため、コスト最小とはならない。つまり、コスト最小の観点からは基準 II における  $p$  がプレストレスの上限であり、基準 I のモーメント分布が表れることはない。一方、 $C$  が大きくなると  $p$  を小さくしてケーブルへの力の分担を軽減し、桁橋に近い構造が最適解となる。通常の斜張橋のモーメント分布は  $C = 2.0$  の様な状態にあるものと考えられる。

表-2 では基準 III より得られた最適主桁断面を用いて、基準 I よりプレストレス量の決定を行なった。表中  $g_1$ 、 $g_2$  はモーメント  $M_1$ 、 $M_2$  に関する制約条件であり、負の値をとるとときには実行可能域にある。 $C = 1.2$  のとき、基準 I を適用すると、 $p^* = 0.625qL$  で、 $g_1 = 0.447$ 、 $g_2 = 0.447$  と非実行域にあることになる。そこで、 $p$  を  $g = 0.00$  となるまで弛めたのが表-2 の  $C = 1.2$  の行の値である。

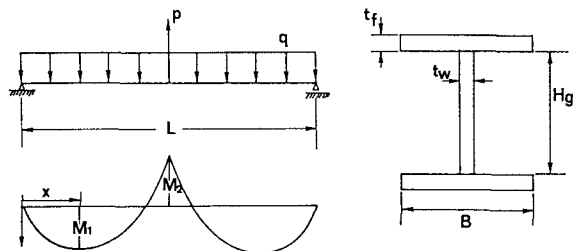


図-1 解析モデル 1

図-2 断面形状

表-1 基準 I、II の最適解の比較

基準	I	II
P	$\frac{5}{8} qL$	$(2 - \sqrt{2}) qL$
$\alpha$	$\frac{5}{8}$	$(2 - \sqrt{2})$
X = $\frac{(1-\alpha)}{2}$	$\frac{3}{16} L$	$\frac{(\sqrt{2}-1)}{2} L$
$M_1 = \frac{(1-\alpha)^2}{2} qL^2$	$\frac{9}{512} qL^2$	$\frac{(\sqrt{2}-1)^2}{2} qL^2$
$-M_2 = \frac{(2\alpha-1)}{2} qL^2$	$-\frac{1}{32} qL^2$	$\frac{(3-2\sqrt{2})}{2} qL^2$

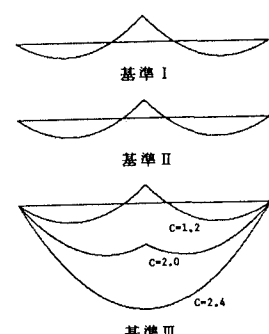


図-3 曲げモーメントの比較

このとき  $W_1/W_3 = 1.00$  となり、基準 I と III の解は一致していることがわかる。これに対して、 $C = 2.0, 2.4$  のときは、 $g < 0$  と、応力的に余裕のある断面となっている。これは、 $p$  を大きく与え過ぎているためであり、表-3において基準 I は基準 III に比べてコストの面からは最適解とはいえない。

### b) 解析モデル2

次に図-4のような、解析モデル1に部材長  $L_c$  のケーブルが加わった1次不静定構造を解析モデルとする。ここではケーブル断面積  $A_c$  と桁高  $H_g$  の2変数問題となっている。目的関数は式(3)を変形し

$$W = CLg (A_c \eta + A_g) \quad (4)$$

となる。ただし、 $\eta = L_c/L_g$  をパラメータとして用いる。

$C = 2.0$  のときの最適解が表-3である。表中の P はケーブルの軸力、 $A_{c1}$  はプレストレス  $P_s$  の導入に対して必要なケーブル断面積、 $A_{c2}$  はプレストレス導入前に必要なケーブル断面積である。 $\eta$  の増加に伴って  $A_c$  は減少し  $H_g$  は増加している。 $\eta = 0.05 \sim 0.70$  まではほぼ基準 II を満足している。また、 $\eta = 1.30 \sim 1.50$  は解析モデル1の  $C = 2.4$  のグループと考えて良い。 $A_c, A_{c1}$  は  $\eta$  の増加に対して単調に減少していくが、 $P_s$  は  $\eta = 1.10$  までは増加し、 $\eta = 1.20$  以上では減少している。これは、 $P_s$  による  $A_{c1}L_c$  と  $H_gL_g$  の感度係数の大きさが  $\eta = 1.20$  付近で変化するためで、 $\eta = 0.50$  において  $P_s$  を1単位増加させると、 $\eta = 1.50$  において1単位増加させるのでは  $A_{c1}L_c$  の大きさは3倍であるが、 $H_gL_g$  はそれ程大きくなっていない。

以上の解析モデル1、2より、基準 I は物理的意味も明確で、目的関数の定式化も容易なため、プレストレスの決定を行なうには有効な手法であるといえる。ただし、この基準 I を用いる前提として主桁の最適化がなされている必要がある。基準 II の等モーメント基準を用いる場合、主桁における応力配分は合理的なものとなるが、式(2)の目的関数はいわゆる min-max 問題であり、斜張橋の構造解析の煩雑さを考えると汎用性の点で基準 I に及ばない。上記の2基準が力学特性から誘導された基準であるのに対して、基準 III はコスト基準であり、コスト比  $C$  によって最適解は異なる。従って小規模の斜張橋のように大半の主桁断面が板厚制限によって決定されるときは、基準 I と基準 III の解は同一となるが、長大斜張橋のようにほとんどの主桁部材が応力制限によって決定される場合や PC 斜張橋のように主桁がコンクリート、鉄筋、PC 鋼棒といったコストの異なる要素で構成されている場合には両基準の解は大きく異なることとなる。

- 参考文献：1) 山田、古川他：斜張橋ケーブルの最適プレストレス量決定に関する研究、土論、第356号/I-3、1985。 2) 山田、大宮司：斜張橋の最適基準設計に関する研究、土論、第253号、1976。 3) 小林、三池、大塚他：主桁支持方式の異なる斜張橋の多段階最適設計、土論、第392号/I-9、1988。

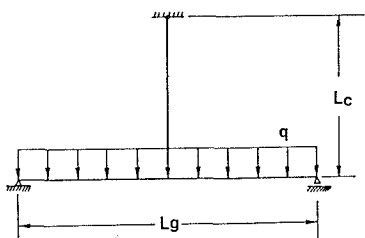


図-4 解析モデル2

表-2 基準Iと基準IIIの比較

C	$\alpha$	$H_g$ (cm)	$A_c$ (cm <sup>2</sup> )	$C * A_c$ (cm <sup>2</sup> )	$W_1$ (cm <sup>3</sup> )	$W_3$ (cm <sup>3</sup> )	$W_1/W_3$	$g_1$	$g_2$
1.2	0.588	0.699	10.44	12.52	49.88	49.88	1.00	0.000	0.000
2.0	0.625	17.357	11.16	22.32	68.21	56.88	1.20	-0.487	-0.707
2.4	0.625	32.186	11.16	26.78	84.53	58.11	1.45	-0.746	-0.857

表-3 基準IIIによる解析モデル2の最適解

$\eta$	$H_g$ (cm)	P (tf)	W (cm <sup>3</sup> )	$A_c$ (cm <sup>2</sup> )	$A_{c1}$ (cm <sup>2</sup> )	$A_{c2}$ (cm <sup>2</sup> )	$A_g$ (cm <sup>2</sup> )	$M_{max}$ (tfm)	$\alpha$
0.50	5.939	58.02	47.11	10.36	0.10	10.26	36.75	2.21	0.580
0.60	6.320	58.16	49.52	10.38	0.40	9.99	37.06	2.19	0.582
0.70	6.320	58.16	51.59	10.38	0.57	9.81	37.06	2.19	0.582
0.80	9.664	58.41	53.93	8.87	0.94	7.94	39.73	3.16	0.497
0.90	12.019	43.46	55.59	7.76	1.55	6.21	41.62	4.00	0.435
1.00	15.856	34.19	56.90	6.16	2.33	3.78	44.69	5.41	0.324
1.10	21.347	22.15	57.78	3.96	2.39	1.57	49.08	7.57	0.222
1.20	23.934	16.84	58.36	3.01	2.09	0.92	51.15	8.64	0.168
1.30	26.447	11.82	58.65	2.11	1.61	0.50	53.16	9.72	0.118
1.40	28.635	7.57	58.69	1.35	1.09	0.26	54.91	10.68	0.076
1.50	29.423	6.05	58.78	1.08	0.90	0.18	55.54	11.03	0.061